

# PRO 2000-08

SYMBOLES ET ABREVIATIONS DE LA CARTE GEOSCIENTIFIQUE

Documents complémentaires

*Additional Files*



Licence



*Licence*

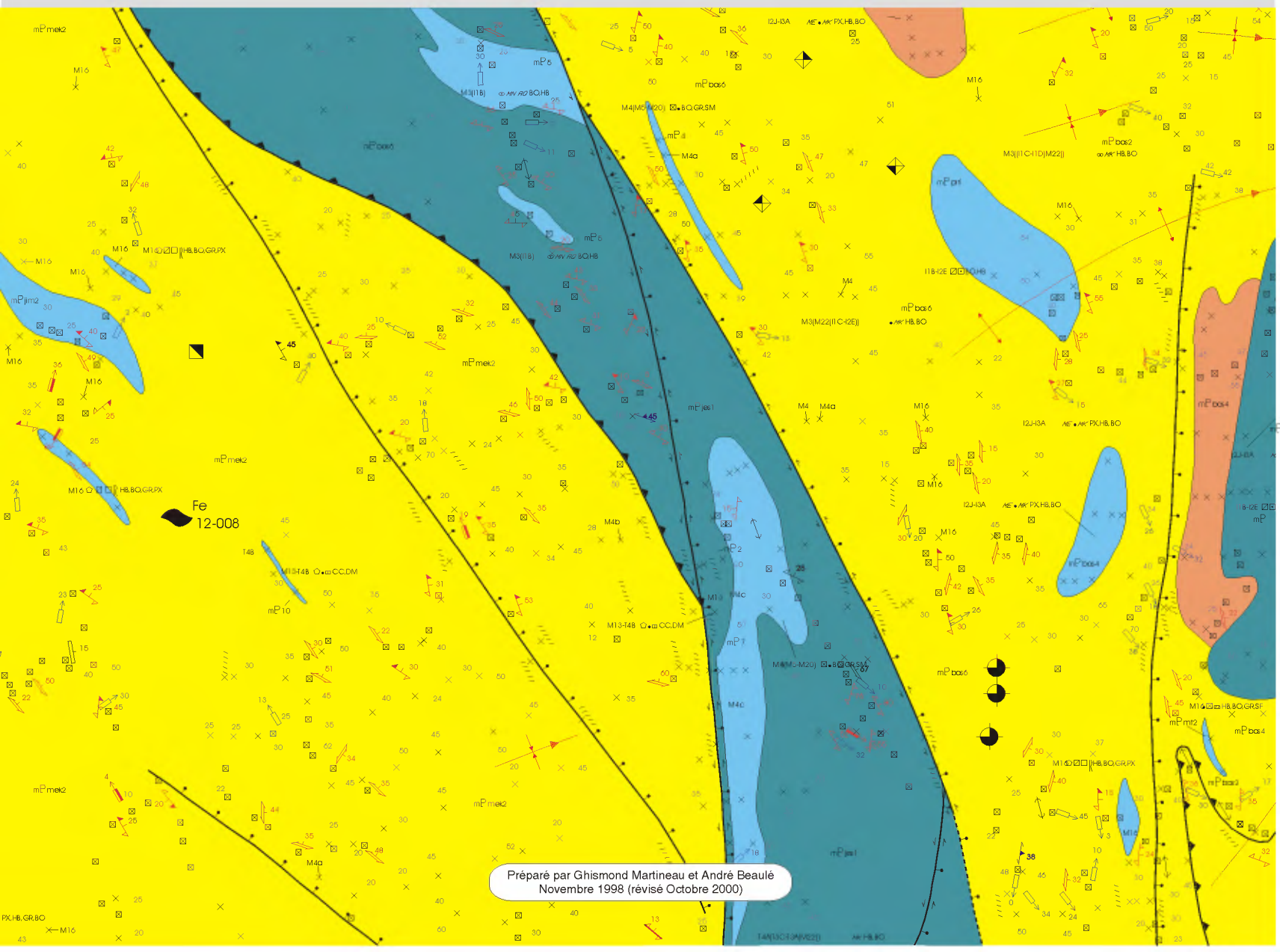
Cette première page a été ajoutée  
au document et ne fait pas partie du  
rapport tel que soumis par les auteurs.

Énergie et Ressources  
naturelles

Québec 



# SYMBOLES ET ABRÉVIATIONS DE LA CARTE GÉOSCIENTIFIQUE PRO 2000-08



Préparé par Ghismond Martineau et André Beaulé  
Novembre 1998 (révisé Octobre 2000)

Note à l'utilisateur

Pour obtenir une description et une définition détaillées des symboles et abréviations de la légende géoscientifique, consulter les documents suivants :

Légende générale de la carte géologique  
- Édition revue et augmentée -  
MB 96-28

Guide d'utilisation des géofiches  
MB 98-05

Carnet « GÉOFICHE »  
DV 97-02

## SITE D'OBSERVATION

Affleurement avec description :

- sur géofiche
- sur compifiche



Aire d'affleurement



Site fossilifère



Débris rocheux



## CONTOURS GÉOLOGIQUES

Limite stratigraphique



Limite lithologique



Discordance



## LES ÂGES GÉOLOGIQUES

	Q	Quaternaire [QUAT]		R	Récent [RECE]
				P	Pléistocène [PLEI]
<b>C</b>		Cénozoïque [CENO]		P	Pliocène [PLIO]
			N	M	Miocène [MIOC]
	T	Tertiaire [TERT]		O	Oligocène [OLIG]
			P	E	Éocène [EOCE]
				P	Paléocène [PALC]
	K	Crétacé [CRET]			
<b>M</b>	J	Jurassique [JURA]			
	T	Trias [TRIA]			
	P	Permien [PERM]			
	C	Carbonifère [CARB]	P		Pennsylvanien [PENN]
			M		Mississipien [MISS]
<b>P</b>	D	Dévonien [DEVO]			
	S	Silurien [SILU]			
	O	OrdoVICIEN [ORDO]			
	C	Cambrien [CAMB]			
	nP	Néoprotérozoïque [NPRO]			
<b>P</b>	mP	Mésoprotérozoïque [MPRO]			
	pP	Paléoprotérozoïque [PPRO]			
	mpP	Meso ou Paléoprotérozoïque [PPRO]			
	nA	Néoarchéen [NARC]			
<b>A</b>	mA	Mésarchéen [MARC]			
	pA	Paléoarchéen [PARC]			
	eA	Eoarchéen [EARC]			
<b>P</b>		Précambrien [PREC]			

N.B. Les codes entre crochets sont utilisés dans le module de la carte de compilation du SIGÉOM pour afficher le symbole de l'âge.

## CODES MNÉMONIQUES DES MINÉRAUX ET DES FOSSILES

MINÉRAUX		Clevelandite	CI	Hédénbergite	HG	Orthoclase (orthose)	OR
Acanthite	AV	Clinohypersthène	HO	Hématite	HM	Orthopyroxène	OX
Actinote	AC	Clinopyroxène	CX	Hemimorphite	HE	Ottrelite	OL
Aeschynite - Y	EC	Clinozoïsite	CZ	Hercynite	HC	Oxyde de fer	OF
Agate	AE	Cobaltite	CE	Holmquistite	HK	Oxyhornblende	OH
Aikinite	BP	Coffinite	UB	Hornblende	HB	(Hornblende brune)	
Akermanite	KA	Columbite/Niobite	NB	Hydrocerussite	HT	Paragonite	PE
Albite	AB	Columbo-tantalite	TO	Hydromagnésite	HN	Pechblende	PB
Allanite	AL	Coopérite	OO	Hydrozincite	ZH	Penninite/Pennine	PT
Altaïte	TP	Cordiérite	CD	Hypersthène	HP	Pentlandite	PD
Amazonite	AI	Corindon	CN	Idaïte	ID	Péristérite	II
Améthyste	AH	Cosalite	PI	Iddingsite	IG	Perovskite	PK
Amiante (Asbestos)	AO	Covellite	CV	Ilménite	IM	Perthite	PR
Amphibole	AM	Cryptomélane	CK	Irriginite	IR	Petzite	PZ
Anatase	NT	Cubanite	CF	Isoferroplatine	IF	Phénacite/Phénakite	PA
Andalousite	AD	Cuivre natif (visible)	Cu	Jade	JA	Phlogopite	PH
Andésine	AA	Cumingtonite	CG	Jarosite	JS	Phosphuranylite	PU
Andradite	GD	Cuprite	CU	Jaspe	JP	Picrolite	AR
Anglésite	LR	Cyrtolite	ZU	Kaolinite	KL	Pistachite	PC
Anhydrite	AY	Danaïte	DT	Kasolite	KS	Plagioclase	PG
Ankérite	AK	Devilleine	DL	Kermésite	KM	Pollucite	ZP
Annabergite	NG	Digenite	DG	Klockmannite	KK	Posniakite	PJ
Anorthite	AN	Diopside	DP	Kornéropine	KP	Préhnite	PN
Anthophyllite	AT	Disthène/Kyanite	KN	Krennerite	KR	Pumpellyite	PP
Antimoine	Sb	Djurleite	DJ	Labradorite	LB	Pyrite	PY
Apatite	AP	Dolomite	DM	Laumontite	LU	Pyrochlore	PM
Aragonite	OA	Dravite	TG	Laurite	LI	Pyrolusite	PS
Argent natif (visible)	Ag	Dravite-Schorlite	DS	Lawsonite	LS	Pyrophyllite	PL
Arsénopyrite	AS	Électrum	EM	Lepidocrocite	LD	Pyroxène	PX
Augite	AG	Enargite	EG	Lépidolite	LP	Pyrrhotite (Pyrrhotine)	PO
Autunite	AU	Enstatite	ES	Lessingite	LE	Quartz	QZ
Awaruite	NF	Epidote	EP	Leucite	LC	Quartz bleu	QB
Axinite	AX	Erythrite	ER	Leucoxène	LX	Rhodochrosite	RD
Azurite	AZ	Eudialyte	EU	Limonite	LM	Rhodonite	RN
Barytine	BR	Euxénite - (Y)	EX	Linnaéite	LN	Riebeckite	RB
Bastnaesite	BA	Fayalite	FA	Loellingite	LG	Romanèchite	RM
Béryl	BL	Feldspath	FP	Maghémite	DH	Roscoelite	RC
Bétafite	BF	Feldspath noir	FN	Magnésiochromite	IC	Rozénite	RZ
Biotite	BO	Feldspath potassique	FK	Magnésite	MN	Rutile	RL
Birnessite	BI	Feldspath vert/brun	FV	Magnétite	MG	Safflorite	FF
Bismuth	Bi	Feldspathoïde	FD	Malachite	MC	Samarskite - (Y)	UL
Bismuthinite	BM	Fer	Fe	Manganite	MM	Sanidine	SA
Bismutite	BS	Ferghanite	FT	Marcasite	MS	Sapphirine	SH
Boltwoodite	BD	Fergusonite	FS	Mariposite	MT	Scapolite	SC
Bornite	BN	Ferrimolybdite	FM	Marmatite	ZF	Scheelite	SW
Boulangérite	BG	Fibrolite	FB	Martite	MH	Schorlite(Schorl)	TF
Bournonite	WO	Fluorapatite	AF	Méililite	ME	Sélénite	SG
Braggite	DI	Fluorite (fluorine)	FL	Melonite	MW	Séliénium	Se
Brannerite	BE	Forstérite	FO	Ménéghinite	NE	Sénarmontite	VS
Bravoïte	BV	Franklinite	FR	Merenskyite	MK	Séricite	SR
Britholite	BU	Freibergite	FG	Mésoperthite	MP	Serpentine	ST
Brochantite	BH	Fuchsïte	FC	Méymacite	WH	Sidérite(sidérose)	SD
Brucite	BC	Gahnite	GH	Mica	MI	Sidéroïl	SI
Bytownite	BT	Galène	GL	Microcline	ML	Sillimanite	SM
Calaverite	CA	Gaspéite	NC	Millerite	NS	Sklodowskite	DW
Calcédoïne	CQ	Gédrite	GT	Minéraux argileux	MA	Smaltite/Smaltine	TW
Calcite	CC	Gersdorffite	NA	Minéraux décoratifs	MD	Samarskite	SK
Carbonate	CB	Glaucophane	GC	Minéraux lourds	MX	Smithsonite	ZO
Cattierite	CJ	Goethite	GO	Minéraux mafiques	MF	Sodalite	SS
Cérussite	WD	Graphite	GP	Minéraux opaques	OP	Soddyite	DY
Cervantite	OS	Greenalite	GF	Minéraux radioactifs	MR	Souffre	S
Chabazite(Chabasite)	ZB	Greenockite	GK	Minnesotaité	MU	Spécularite	HS
Chalcocite(ne)	CT	Grenat	GR	Molybdénite	MO	Spessartine	GS
Chalcopyrite	CP	Grenat-almandin	GA	Molybdite(dine)	MB	Sphalérite	SP
Chamosite	DN	Grenat-grossulaire	GG	Monazite	MZ	Sphène/Titanite	SN
Chert	CH	Grenat manganésifère	GM	Monticellite	OM	Spinelle	SL
Chloanthite	CO	Grenat-pyrope	GY	Muscovite	MV	Spodumène	SO
Chlorite	CL	Grunérite	GN	Néphéline	NP	Stannite	NN
Chloritoïde	CR	Gudmundite	UD	Nickéline	UN	Starkéyite	SY
Chondrodite	HR	Gummité	GB	Niocalite	OI	Staurotite	SU
Chromite	CM	Gunningite	GI	Ocre	OC	Stéatite	TS
Chrysocolle	CY	Gypse	GE	Oligoclasse	OG	Stibiconite	ON
Chrysotile	CS	Halite	HL	Olivine	OV	Stibine/Stibnite	SB
Clarkeïte	UC	Heazlewoodite	HZ	Or natif (visible)	Au		

## CODES MNÉMONIQUES DES MINÉRAUX ET DES FOSSILES

Stilbite (Heulandite)	HD	FOSSILES	YY
Stilpnomélane	SE	Brachiopodes	YB
Sulfures	SF	Bryozoaires	YZ
Sylvanite	SV	Céphalopodes	YC
Szomolnokite	SZ	Conulaires	YA
Talc	TC	Coraux	YX
Tantalite	TN	Crinoïdes	YR
Tellurobismuthite	TB	Echinodermes	YD
Tennantite	TT	Éponges	YE
Tenorite	TE	Gastéropodes	YT
Tétradymite	TD	Graptolites	YG
Tétraferroplatine	OT	Ostracodes	YO
Tétrahédrite	TH	Péléciopodes	YP
Thomsonite	ZT	Plantes	YN
Thorianite	TR	Poissons	YK
Thorite	TI	Stromatoïdes	YS
Thucholite	HU	Stromatoporoides	YI
Titanomagnétite	NM	Traces fossiles	YF
Topaze	TZ	Trilobites	YL
Torbernite	TU		
Tourmaline	TL	DIVERS	
Tourmaline zincifère	TA	Bioclastes	XB
Trémolite	TM	Ciment	XC
Ulvöspinell	US	Hydrocarbures	XH
Uraninite	UR	Liant	XL
Uranophane	UP	Lithoclastes	XR
Uranopilite	UI	Matière organique	XG
Uranothorianite	UH	Matrice	XM
Uranothorite	UT	Oncolites	XT
Uvarovite	GU	Oolites	XO
Valentinite	VA	Pellets	XP
Valleriite	VL	Péloïdes	XD
Vermiculite	VR	Autres	XX
Vésuvianite	VV		
Violarite	VO		
Willemite	WM		
Wilsonite	WS		
Wolframite	WF		
Wollastonite	WL		
Wulfenite	WN		
Xénotime-(Y)	TX		
Zéolite	ZL		
Zincite	ZN		
Zircon	ZC		
Zoïsite	ZS		

## SYMBOLES ET CODES MNÉMONIQUES DES STRUCTURES, TEXTURES ET AUTRES

<i>AC</i>	<b>AC</b>	Aciculaire			<b>CZ</b>	Coulée massive à surface coussinée		<b>FU</b>	Fragments allongés «polymictic»/polygéniques
<i>AD</i>	<b>AD</b>	Adcumulat						<b>FK</b>	Fragments aplatis «polymictic»/polygénique
	<b>AA</b>	Affleurement caractérisé par le plissement			<b>CW</b>	Coulée massive grenue et/ou partie basale grenue de coulée		<b>FQ</b>	Fragments aplatis «monomictic»/monogénique
<i>AT</i>	<b>AT</b>	Agmatitique			<b>CO</b>	Coussiné (coussins)	<i>RB</i>	<b>RB</b>	Framboïdal
<i>AL</i>	<b>AL</b>	Alaskitique			<b>XP</b>	Coussins allongés	<i>FR</i>	<b>FR</b>	Frites («pencil structure») (en crayon)
<i>AE</i>	<b>AE</b>	Altéré			<b>FP</b>	Coussins aplatis	<i>GA</i>	<b>GA</b>	Galets (à) (64-256 mm)
<i>AO</i>	<b>AO</b>	Amas arrondis (globulaires)			<b>MD</b>	Coussins en molaire		<b>GE</b>	Géode
<i>AI</i>	<b>AI</b>	Amas irréguliers			<b>CF</b>	Coussins fragmentés	<i>GB</i>	<b>GB</b>	Gloméroblastique
<i>AB</i>	<b>AB</b>	Amiboïdal(e)		<i>CI</i>	<b>CI</b>	Coussins isolés	<i>GC</i>	<b>GC</b>	Gloméroclastique
	<b>AM</b>	Amygdalaire		<i>CJ</i>	<b>CJ</b>	Coussins jointifs	<i>GX</i>	<b>GX</b>	Gloméro cristallin(e)
<i>AN</i>	<b>AN</b>	Anastomosé		<i>CT</i>	<b>CT</b>	Crescumulat		<b>GH</b>	Gloméro porphyrique
	<b>AR</b>	Antirapakivi		<i>CR</i>	<b>CR</b>	Cristalloblastique	<i>NR</i>	<b>NR</b>	Gneiss à crayons
<i>AP</i>	<b>AP</b>	Aphanitique		<i>CX</i>	<b>CX</b>	Cristaux (en)	<i>GD</i>	<b>GD</b>	Gneiss droit («straight gneiss»)
<i>AY</i>	<b>AY</b>	Apophyse (en)		<i>CP</i>	<b>CP</b>	Cryptalguaire	<i>GS</i>	<b>GS</b>	Gneissique
<i>AS</i>	<b>AS</b>	Arborescent		<i>CU</i>	<b>CU</b>	Cumulat (à)	<i>GW</i>	<b>GW</b>	Gradation densimétrique
<i>AU</i>	<b>AU</b>	Autoclastique		<i>CM</i>	<b>CM</b>	Cumulite	<i>VG</i>	<b>VG</b>	Gradation granulométrique
<i>BA</i>	<b>BA</b>	Bancs (en)		<i>DS</i>	<b>DS</b>	Cupules («dish structure»)		<b>GF</b>	Grains fins (à) < 1mm roches ignées
<i>BM</i>	<b>BM</b>	Bandes de cimentation			<b>CY</b>	Cyclique(Cyclicité)		<b>GG</b>	Grains grossiers (à) >5 mm roches ignées
<i>BS</i>	<b>BS</b>	Basal(e)		<i>DT</i>	<b>DT</b>	Dendritique		<b>GM</b>	Grains moyens (à) 1-5 mm roches igées
<i>BE</i>	<b>BE</b>	«Birds eyes»		<i>DG</i>	<b>DG</b>	Désagrégés / brisés	<i>GT</i>	<b>GT</b>	Grains très fins
<i>BI</i>	<b>BI</b>	Biseau		<i>DQ</i>	<b>DQ</b>	Diabasique	<i>GO</i>	<b>GO</b>	Grains très grossiers
<i>BL</i>	<b>BL</b>	Blocs (à)		<i>DB</i>	<b>DB</b>	Diablastique		<b>GR</b>	Granoblastique
	<b>BU</b>	Bordure / limite de coulée		<i>DC</i>	<b>DC</b>	Diaclasé		<b>GI</b>	Granoclasement inverse
<i>BV</i>	<b>BV</b>	Botryoïdal			<b>DE</b>	Direction d'écoulement de coulées		<b>GJ</b>	Granoclasement inverse suivi de normal
	<b>BO</b>	Boudinage			<b>DR</b>	Direction de courant		<b>GK</b>	Granoclasement normal suivi d'inverse
	<b>BC</b>	Brèche à coussins ordinaires isolés			<b>DD</b>	Discordance		<b>GN</b>	Granoclasement normal
	<b>BG</b>	Brèche à coussins peu serrés		<i>DI</i>	<b>DI</b>	Disséminé	<i>GQ</i>	<b>GQ</b>	Granoclastique
	<b>BF</b>	Brèche à méga-coussins isolés		<i>DK</i>	<b>DK</b>	Drusique	<i>GY</i>	<b>GY</b>	Granophyrique
	<b>BB</b>	Brèche à mini-coussins isolés		<i>DU</i>	<b>DU</b>	Dunes	<i>GU</i>	<b>GU</b>	Granules (à) (2-4 mm)
	<b>BQ</b>	Brèche de coulée / Brèche de lave		<i>DW</i>	<b>DW</b>	Durchbewegung	<i>GP</i>	<b>GP</b>	Graphique
	<b>BH</b>	Brèche de coussins désagrégés / brisés		<i>SB</i>	<b>SB</b>	Échappement (structure d')	<i>GV</i>	<b>GV</b>	Griffon
	<b>BK</b>	Brèche de coussins fragmentés		<i>ED</i>	<b>ED</b>	Écharde		<b>HA</b>	«Harrisitic»
	<b>BN</b>	Brèche d'intrusion		<i>EO</i>	<b>EO</b>	Écoulement (structure d')	<i>HE</i>	<b>HE</b>	Hélicitique
	<b>BP</b>	Brèche pyroclastique		<i>EF</i>	<b>EF</b>	Effondrement (structure d')	<i>HU</i>	<b>HU</b>	Hétéradcumulat
<i>BT</i>	<b>BT</b>	Brèche tectonique		<i>EL</i>	<b>EL</b>	Empreinte de cannelures	<i>HB</i>	<b>HB</b>	Hétéroblastique
<i>BR</i>	<b>BR</b>	Bréchiqye / Brèche			<b>EC</b>	Empreinte de charge («load cast»)		<b>HK</b>	Hétérogène
<i>BY</i>	<b>BY</b>	Broyage		<i>EI</i>	<b>EI</b>	Empreinte d'impact	<i>HG</i>	<b>HG</b>	Hétérogranulaire
<i>CA</i>	<b>CA</b>	Cailloux 4-64 mm			<b>EN</b>	Enclave	<i>HC</i>	<b>HC</b>	Holocristallin(e)
	<b>PK</b>	Cailloux alignés «pebble stringers»		<i>EM</i>	<b>EM</b>	Encroûtement («crustification»)	<i>HH</i>	<b>HH</b>	Holohyalin(e)
	<b>CN</b>	Cannelure		<i>EE</i>	<b>EE</b>	En échelon	<i>HL</i>	<b>HL</b>	Hololeucocrate
<i>CO</i>	<b>CQ</b>	Cataclastique		<i>ES</i>	<b>ES</b>	En festons	<i>HM</i>	<b>HM</b>	Holomélanocrate
<i>CE</i>	<b>CE</b>	Cendre (à)		<i>EP</i>	<b>EP</b>	Épiclastique	<i>HQ</i>	<b>HQ</b>	Homéoblastique
	<b>VP</b>	Centre volcanique/ faciès proximal		<i>EQ</i>	<b>EQ</b>	Équigranulaire		<b>HJ</b>	Homogène
	<b>DN</b>	Cheminée d'alimentation (dyke nourricier)		<i>ER</i>	<b>ER</b>	Excroissances	<i>HT</i>	<b>HT</b>	Homotactique
<i>CV</i>	<b>CV</b>	Cheminée volcanique		<i>EX</i>	<b>EX</b>	Extrusif (ve)		<b>HY</b>	Hyaloclastites
	<b>CH</b>	Chenal		<i>FJ</i>	<b>FJ</b>	Faille intra-formationnelle		<b>HR</b>	Hyaloclastites remaniées
<i>CG</i>	<b>CG</b>	Chenalisé			<b>FV</b>	Faille synvolcanique	<i>HP</i>	<b>HP</b>	Hyalopilitique
<i>CD</i>	<b>CD</b>	Chenal d'érosion (à)			<b>FD</b>	Fente de dessiccation		<b>TH</b>	Hyalotuf
	<b>CS</b>	Cisaillé(e)			<b>FM</b>	Fente de refroidissement	<i>HD</i>	<b>HD</b>	Hypidiomorphe
<i>OL</i>	<b>OL</b>	Colloforme		<i>FI</i>	<b>FI</b>	Fibreux (se)	<i>HX</i>	<b>HX</b>	Hypocristallin(e)
	<b>JC</b>	Columnaire/ (joints en colonnes)		<i>FB</i>	<b>FB</b>	Fibroblastique	<i>ID</i>	<b>ID</b>	Idiomorphe
	<b>CC</b>	Concréation(s) nodules		<i>FN</i>	<b>FN</b>	Filonien		<b>IM</b>	Imbrication de cailloux, blocs
<i>CB</i>	<b>CB</b>	Convolutions (à)			<b>FH</b>	Filons-couches cogénétiques (synvolcaniques)	<i>IP</i>	<b>IP</b>	Imprégnation
	<b>KO</b>	Coronitique			<b>FE</b>	Flammes	<i>IG</i>	<b>IG</b>	Intergranulaire
<i>CL</i>	<b>CL</b>	Coulée			<b>FS</b>	Filandré «Flaser»	<i>IS</i>	<b>IS</b>	Intersertale
	<b>NC</b>	Coulée coussinée à noyaux saussuritisés			<b>FL</b>	Flué, par fluage - fluidal	<i>IT</i>	<b>IT</b>	Intraclastes (à)
	<b>FZ</b>	Coulée fragmentée			<b>FL</b>	Fluidal(e) (à structure)	<i>IR</i>	<b>IR</b>	Intraformationnel(le)
	<b>CK</b>	Coulée massive			<b>FX</b>	Flûte déformée par surcharge		<b>IU</b>	Intrusif(ve) / injection
	<b>NM</b>	Coulée massive à noyaux saussuritisés		<i>FT</i>	<b>FT</b>	Flûte («flutecast»)	<i>IC</i>	<b>IC</b>	Iridescente
					<b>FO</b>	Folié(e)	<i>IL</i>	<b>IL</b>	Isolés
				<i>FF</i>	<b>FF</b>	Fossifère		<b>JC</b>	Joints en colonnes
					<b>FA</b>	Fracturé(e)	<i>KR</i>	<b>KR</b>	Karstique
					<b>FC</b>	Fractures radiales dans les coussins	<i>LU</i>	<b>LU</b>	Labradorescence
				<i>FG</i>	<b>FG</b>	Fragmenté(e)	<i>LA</i>	<b>LA</b>	Laminaire (laminé)
					<b>FW</b>	Fragments allongés «monomictes»/monogéniques			

## SYMBOLES ET CODES MNÉMONIQUES DES STRUCTURES, TEXTURES ET AUTRES (SUITE)

	<b>LC</b>	Laminations convolutées		<b>PO</b>	Porphyrique		<b>TL</b>	Tuf à lapilli
	<b>CP</b>	Laminations cryptalgaires		<b>PQ</b>	Porphyroblastique		<b>TY</b>	Tuf à lapilli et tuf à blocs
	<b>LO</b>	Laminations ondulantes		<b>PJ</b>	Porphyroclastique		<b>TC</b>	Tuf cherteux
	<b>LL</b>	Laminations ondulantes lenticulaires		<b>PX</b>	Prismatique		<b>TG</b>	Tuf graphiteux
	<b>LQ</b>	Laminations obliques		<b>PF</b>	Protoclastique		<b>TI</b>	Tuf lithique
	<b>LP</b>	Laminations parallèles		<b>PR</b>	Pyroclastique		<b>TS</b>	Tuf soudé
	<b>TO</b>	Lapillistone		<b>RO</b>	Radeaux (en)		<b>TU</b>	Tufacé
	<b>LI</b>	Lapilli (à)		<b>RK</b>	Rapakivique		<b>TB</b>	Turbidite (voir guide des géofiches)
	<b>LT</b>	Lattes (en)		<b>RG</b>	Régolite		<b>VA</b>	Variolitique
	<b>LV</b>	Lave / coulée de lave		<b>RN</b>	Remanié(e)		<b>VN</b>	Veiné(e)
	<b>LK</b>	Lave en blocs		<b>RL</b>	Remplacement		<b>VE</b>	Vesiculaire
	<b>LE</b>	Lenticulaire		<b>RF</b>	Réniforme		<b>VI</b>	Vitreux(se)
	<b>LF</b>	Lépidoblastique		<b>RE</b>	Réticulé(e)		<b>VO</b>	Volcanique
	<b>LX</b>	Leucocrate		<b>RC</b>	Rides de courant		<b>VC</b>	Volcanoclastites
	<b>LS</b>	Leucosome		<b>RP</b>	Rides de plage		<b>XB</b>	Xénoblastique
	<b>SA</b>	Lité(e), stratifié(e)		<b>RM</b>	«Rill mark(s)»		<b>XM</b>	Xénomorphe
	<b>AG</b>	Lits amalgamés		<b>RI</b>	«Rip-up clast(s)»		<b>ZC</b>	Zone de contact
	<b>LN</b>	Lits d'épaisseur moyenne (10 à 25 cm)		<b>RQ</b>	Ruban de quartz		<b>ZD</b>	Zone de déformation
	<b>LG</b>	Lits épais (>25 cm)		<b>RU</b>	Rubané(e)		<b>ZF</b>	Zone de faille
	<b>LD</b>	Lits lenticulaires		<b>RA</b>	Rubanement concentrique		<b>ZM</b>	Zone minéralisée
	<b>LM</b>	Lits minces (1-10 cm)		<b>LJ</b>	Rubanement de diffusion («Liesegang rings»)		<b>ZR</b>	Zone rouillée
	<b>LB</b>	Lobe		<b>RS</b>	Rubanement symétrique		<b>ZS</b>	Zone de cisaillement
	<b>MA</b>	Massif(ve)		<b>RT</b>	Rubanement tectonique		<b>XX</b>	Autres
	<b>MC</b>	Mégacoussins (à)		<b>SD</b>	Saccaroïdale (granoblastique)			
	<b>MP</b>	Mégaporphyrique		<b>SC</b>	Schisteux			
	<b>MX</b>	Mélanocrate		<b>SH</b>	«Schlieren»			
	<b>MS</b>	Mélanosome		<b>SR</b>	Scoriacé(e)			
	<b>MK</b>	Mésocrate		<b>SV</b>	«shatter cone»			
	<b>MF</b>	Mésocumulat		<b>SL</b>	«Slump»			
	<b>ME</b>	Métamorphisé		<b>SM</b>	Sommital(e)			
	<b>ML</b>	Miarolitique		<b>SP</b>	Sphérolitique			
	<b>MT</b>	Micritique		<b>SX</b>	Spinifex (à)			
	<b>MB</b>	Microbrèche		<b>SW</b>	Stockwerk			
	<b>MI</b>	Microlitique		<b>SF</b>	Stratifications entrecroisées de fosse			
	<b>MR</b>	Microporphyrique		<b>SN</b>	Stratifications / laminations obliques planaires			
	<b>MU</b>	Minicoussins (à)		<b>SQ</b>	Stratifications / laminations obliques tangentielles			
	<b>MZ</b>	Mobilisat		<b>ST</b>	Stratifié(e) / stratiforme			
	<b>MM</b>	Monogénique «Monomictic»		<b>SG</b>	«Streaky» mafiques en trait			
	<b>MO</b>	Mosaïque		<b>SJ</b>	Stratoïde («stratabound»)			
	<b>MN</b>	Mylonitique		<b>SI</b>	Strie			
	<b>MY</b>	Myrmékitique		<b>SS</b>	Stringer			
	<b>NB</b>	Nébulitique		<b>SK</b>	«Stromatic»			
	<b>NE</b>	Nématoblastique		<b>SU</b>	Stromatolitique			
	<b>NS</b>	Néosome		<b>ET</b>	Structure de percement («piercement»)			
	<b>NO</b>	Nodulaire		<b>DW</b>	Structure «durchbewegung»			
	<b>NY</b>	Noyaux		<b>PY</b>	Structure en cocarde (crustification dans brèche, «cockade»)			
	<b>OC</b>	Ocellaire		<b>PW</b>	Structure en peigne («comb»)			
	<b>OE</b>	Oeillé(e)		<b>SY</b>	Stylolites			
	<b>OI</b>	Olïkocryst (à)		<b>SO</b>	Subophitique			
	<b>OO</b>	Oolitique		<b>SE</b>	Surface d'érosion			
	<b>OP</b>	Ophitique		<b>TA</b>	Tabulaire			
	<b>OR</b>	Orbiculaire		<b>TT</b>	Talus (de)			
	<b>OU</b>	Orthocumulat		<b>TE</b>	Tectonique			
	<b>PS</b>	Paléosome		<b>YL</b>	Tectonite en L			
	<b>PE</b>	Paléosurface d'érosion		<b>YZ</b>	Tectonite en L/S			
	<b>PA</b>	Panidiomorphe		<b>YS</b>	Tectonite en S			
	<b>PV</b>	Patron d'interférence		<b>YH</b>	Tectonique hétéroclastique			
	<b>PG</b>	Pegmatitique		<b>YM</b>	Tectonite homoclastique			
	<b>PL</b>	«Pellets» (à)		<b>TF</b>	Traces fossiles (trous de vers, etc.)			
	<b>PD</b>	Péloïdes		<b>TR</b>	Trachytique / trachytoïde			
	<b>PT</b>	Perlitique		<b>TP</b>	Trempe (de)			
	<b>LR</b>	Peu serrés (loosely packed)		<b>TM</b>	Tuf à blocs			
	<b>PH</b>	Phanéritique		<b>TZ</b>	Tuf à blocs et tuf à lapilli			
	<b>PI</b>	Phénocristique		<b>TD</b>	Tuf à cendre			
	<b>PZ</b>	Plis ptygmatiques		<b>TX</b>	Tuf à cristaux			
	<b>PU</b>	Plutonique						
	<b>PC</b>	Poecilitique						
	<b>PB</b>	Poeciloblastique						
	<b>PM</b>	Polygénique / «polymictic»						
	<b>PN</b>	Ponce						
	<b>PP</b>	Porphyre						



## GÎTES MINÉRAUX

Morphologie et attitude des gîtes

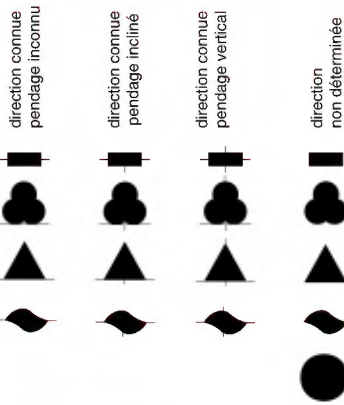
tabulaire ( $x=y \gg z$ )  
(filon, couche, strate, dyke)

amas ( $x=y=z$ )

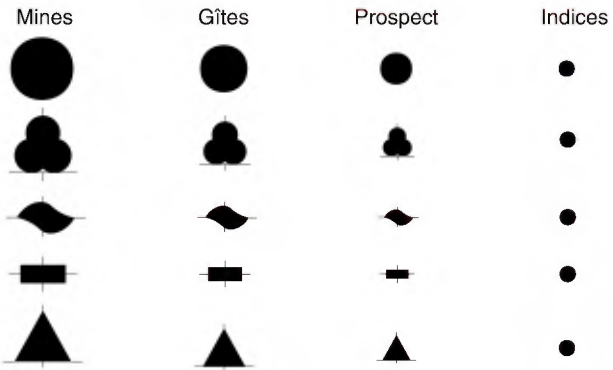
tubulaire/conique ( $x \gg y=z$ )  
(cylindrique, cheminée)

lenticulaire ( $x > y > z$ )

indéterminée



État des gîtes



## SONDAGE

Sondage incliné avec projection horizontale

Sondage dans les dépôts meubles



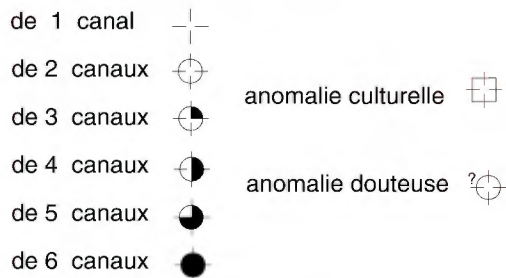
Sondage vertical



## GÉOPHYSIQUE

Anomalies - levés électromagnétiques

- dans le domaine du temps

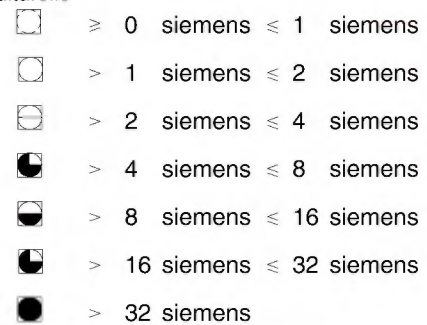


anomalie



- dans le domaine des fréquences

anomalie culturelle



anomalie positive en phase

Champ magnétique total résiduel

lignes isomagnétiques ( valeur du champ )



dépression magnétique



## INSTALLATIONS MINIÈRES

Usine de traitement



Puits incliné



Puits vertical



Rampe



Galerie à flanc de coteau



Projection d'ouverture souterraine



Bassin à résidus



Carrière d'exploitation



Carrière à granulats



Chantier ouvert



Digue de bassin à résidus



Halde stérile



## GÉOCHIMIE

Géochimie - roches

position de l'échantillon



échantillon analysé pour:

terres rares



substances économiques



éléments majeurs



éléments traces



Géochimie - sédiments

position de l'échantillon



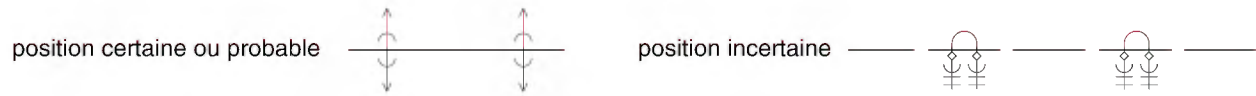
## FAILLES RÉGIONALES

	position							
	certaine	approxmative	présumée	projetée sous dépôts meubles	déduite de forage	déduite de géophysique	déduite de photo-inter.	déduite de télé détec.
mouvement								
indéterminé	—	--	--	-.	---	--	+—	+—
normal	┆—	┆--	┆---	┆-.	┆---	┆--	┆—	┆—
inverse	┆—	┆--	┆---	┆-.	┆---	┆--	┆—	┆—
dextre	┆—	┆--	┆---	┆-.	┆---	┆--	┆—	┆—
senestre	┆—	┆--	┆---	┆-.	┆---	┆--	┆—	┆—
dextre- inverse	┆—	┆--	┆---	┆-.	┆---	┆--	┆—	┆—
dextre- normal	┆—	┆--	┆---	┆-.	┆---	┆--	┆—	┆—
senestre- inverse	┆—	┆--	┆---	┆-.	┆---	┆--	┆—	┆—
senestre- normal	┆—	┆--	┆---	┆-.	┆---	┆--	┆—	┆—

## CISAILLEMENTS RÉGIONAUX

	position							
	certaine	approxmative	présumée	projetée sous dépôts meubles	déduite de forage	déduite de géophysique	déduite de photo-inter.	déduite de télé détec.
mouvement								
indéterminé			-	-.	---	--		
normal	┆	┆	┆    -	┆    - .     -	┆    -   ---	┆    -   ---	┆    -   ---	┆    -   ---
inverse	┆	┆	┆    -	┆    - .     -	┆    -   ---	┆    -   ---	┆    -   ---	┆    -   ---
dextre			-	-.	---	--		
senestre			-	-.	---	--		
dextre- inverse	┆	┆	┆    -	┆    - .     -	┆    -   ---	┆    -   ---	┆    -   ---	┆    -   ---
dextre- normal	┆	┆	┆    -	┆    - .     -	┆    -   ---	┆    -   ---	┆    -   ---	┆    -   ---
senestre- inverse	┆	┆	┆    -	┆    - .     -	┆    -   ---	┆    -   ---	┆    -   ---	┆    -   ---
senestre- normal	┆	┆	┆    -	┆    - .     -	┆    -   ---	┆    -   ---	┆    -   ---	┆    -   ---

# PLIS RÉGIONAUX



symbolisme utilisé pour décrire une surface axiale de type:

		$P_1^0$	$P_2^0$	$P_2^1$	$P_3^0$	$P_3^1$	$P_3^2$	$P_4^0$	$P_4^1$	$P_4^2$	$P_4^3$	$P_x^x$
antiforme	déjetée											
	droite											
	déjetée											
	droite											
	déjetée											
	droite											
symforme	déjetée											
	droite											
	déjetée											
	droite											
	déjetée											
	droite											

# STRUCTURES PLANAIRES

## Stratification

sommet non déterminé

horizontale, inclinée, verticale,  
sens du pendage inconnu



sommet déterminé

horizontale: sommet vers le haut,  
sommet vers le bas



Inclinée, renversée, verticale,  
sens du pendage inconnu



## Surfaces S

horizontale  
inclinée  
verticale  
pendage  
inconnu

Surface S1



Surface S2



Surface S3



Surface S4



Surface S5



Foliation primaire



Foliation minérale

phase 1



phase 2



phase 3



Gneissosité, lamination différentielle

phase 1



phase 2



Rubanement tectonique

phase 1



phase 2



Gneissosité de gneiss droit

phase 1



phase 2



Rubanement migmatitique

phase 1



phase 2



Foliation /  
rubanement mylonitique



"Kink bands"



"Shear bands"



Plans axiaux

horizontale  
inclinée  
verticale  
pendage  
inconnu



Joints et diaclases



Veines

Veine



Zone de veines  
en échelon



Dykes



Zone de cisaillement: observée localement

Indéterminé



Normal



Inverse



Dextre



Dextre normal



Dextre inverse



Senestre



Senestre normal

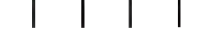


Senestre inverse

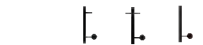


Faïlle: observée localement

Indéterminée



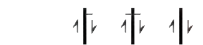
Normale



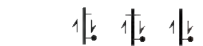
Inverse



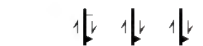
Dextre



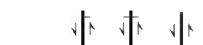
Dextre normale



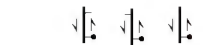
Dextre inverse



Senestre



Senestre normale



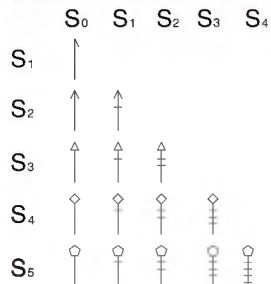
Senestre inverse



## LINÉATIONS

Axe de boudin	B	
Axe de joint en colonne	J	
Axe de mullion	L	
D'étirement	E	
plaquage minéral (smear)	Y	
tige de quartz	Q	
objet déformé allongé	A	
Indéterminée		
-horizontale	L	
-inclinée	L	
-verticale	L	
Minérale		
-primaire (magmatique)	M	
-secondaire (tectono-métamorphique)	N	
Strie de faille	F	
Strie intercouche	T	

### Linéation d'intersection



Linéation sédimentaire		indéterminée	dans le plongement	contraire au plongement
linéation sédimentaire	S			
marque de semelle	H			
structure interne	U			

Exemple:

Schistosité de phase 1 (S<sub>1</sub>) avec un mouvement senestre déterminé par un porphyroclaste de type "delta".



Pli symétrique P<sub>2</sub><sup>1</sup> affectant une surface S<sub>1</sub>

## INDICATEURS DE MOUVEMENT

Normal	N	
Inverse	I	
Dextre	D	
Senestre	S	
Normal dextre	X	
Normal senestre	L	
Inverse dextre	V	
Inverse senestre	T	

## PLIS OBSERVÉS LOCALEMENT

Antiforme		
Synforme		
Pli dextre(en Z)	Z	
Pli senestre(en S)	S	
Pli symétrique en M	M	
Pli symétrique en W	W	

## INDICATEURS CINÉMATIQUES

Asymétrie de plis	P	
Veines	V	
Zones de veines en extension	Z	
Boudins	B	
Objets ou plans déplacés par le cisaillement	J	
Objets ou plans fléchis par le cisaillement	F	
Porphyroclastes du type sigma ( en escalier)	S	
Porphyroclastes du type delta ( dans le plan)	D	
Inclusions alignées dans les porphyroblastes	I	
" Mica fish "	M	
Ombres de pression autour des cristaux	O	
" Shear bands "	H	
Fabrique de type C/S	C	
En étagère à livres	L	
Cristaux déplacés	K	